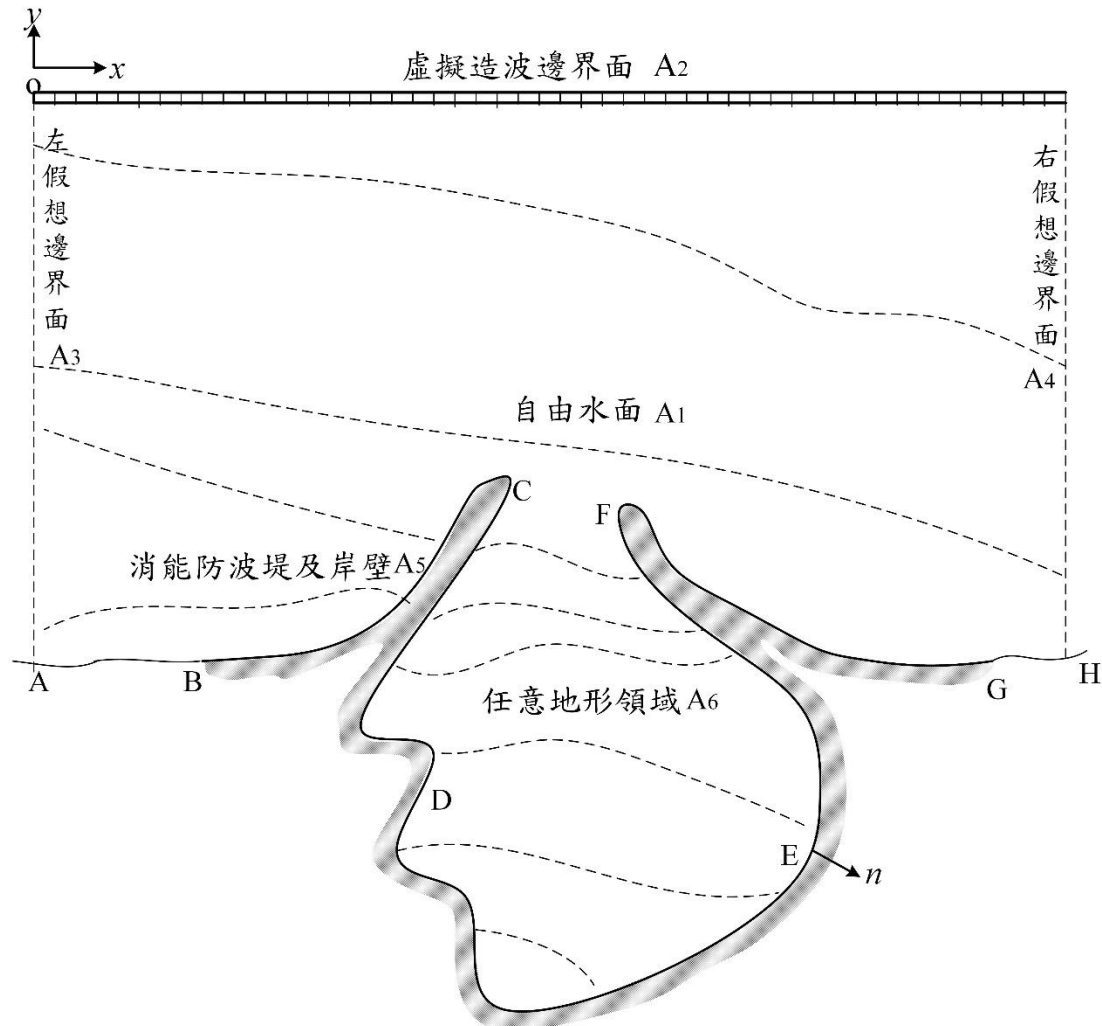


3 維邊界元素法應用於造波問題

頻率領域空間 3 維港池波高分布問題討論頻率領域港池水面波高特徵值，應用邊界元素法在微小振幅波理論下，覓出港池水面波高分布。本法將針對任意水深地形及任意港形的港池，利用線性元素 3 維邊界元素法，在時間領域以造波問題方式，考量自由水面的非線性動力學條件，數值計算分析港池水面波動。



1. 活塞式造波板造波方程式

活塞式造波板蛇型造波板運動速度 $U(j, t)$, ($j=1, 2, \dots, N_2$) 如下:

(1) 簡谐波

$$U(j, t) = a\alpha\sigma \sin(\sigma t - kjw_B \cos \theta_B)$$

$$\alpha = \frac{\sinh kh \cosh kh + kh}{2 \sinh^2 kh}$$

θ_B = 造波方向 (以 X 軸為基準)

a = 造波振幅

$\alpha = \theta_B$ 活塞式造波板修正係數

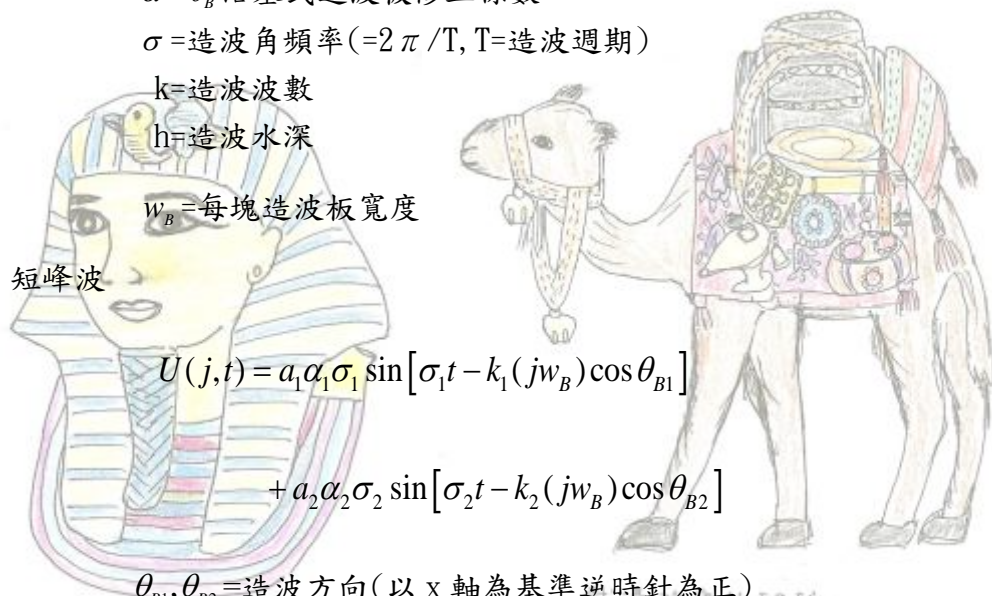
σ = 造波角頻率 (= $2\pi/T$, T = 造波週期)

k = 造波波數

h = 造波水深

w_B = 每塊造波板寬度

(2) 短峰波



$$U(j,t) = a_1 \alpha_1 \sigma_1 \sin[\sigma_1 t - k_1(jw_B) \cos \theta_{B1}]$$

$$+ a_2 \alpha_2 \sigma_2 \sin[\sigma_2 t - k_2(jw_B) \cos \theta_{B2}]$$

θ_{B1}, θ_{B2} = 造波方向 (以 X 軸為基準逆時針為正)

a_1, a_2 = 造波振幅

α_1, α_2 = 活塞式造波板修正係數

2011 埃及尼羅河之旅

σ_1, σ_2 = 造波角頻率 (= $2\pi/T$, T = 造波週期)

k_1, k_2 = 造波波數

h = 造波水深

w_B = 每塊造波板寬度

(3) 孤立波

$$U(j,t) = x_0 \omega \operatorname{sech} h^2 \omega (t - t_c - jw_B \cos \theta_B)$$

$$x_0 = h_0 \sqrt{\frac{4H_0}{3(H_0 + h_0)}}$$

$$\omega = \sqrt{\frac{g}{h_0}} \sqrt{\frac{3H_0}{4h_0} \left(1 + \frac{H_0}{h_0}\right)}$$

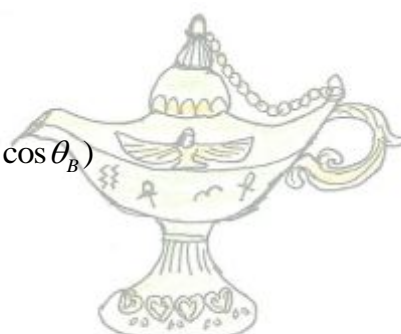
$$t_c = \pi/\omega$$

x_0 = 造波板的半衝程

H_0 = 造波波高

h_0 = 造波水深

ω = 特徵角頻率

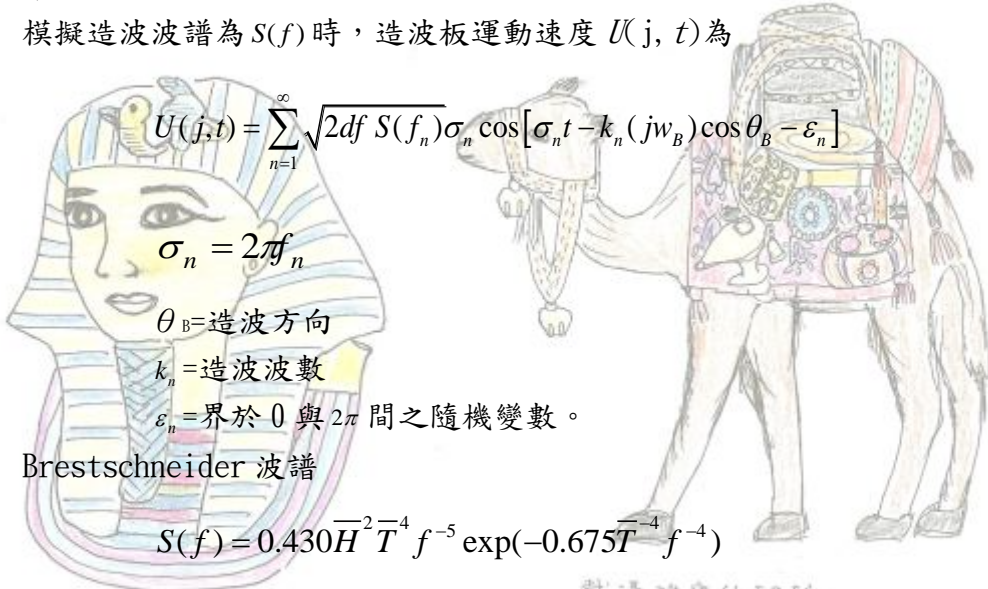


阿拉丁神燈

t_c = 為特徵時間

(4) 單方向不規則波

模擬造波波譜為 $S(f)$ 時，造波板運動速度 $U(j, t)$ 為



$$U(j, t) = \sum_{n=1}^{\infty} \sqrt{2df S(f_n)} \sigma_n \cos[\sigma_n t - k_n(jw_B) \cos \theta_B - \varepsilon_n]$$

$$\sigma_n = 2\pi f_n$$

$$\theta_B = \text{造波方向}$$

$$k_n = \text{造波波數}$$

$$\varepsilon_n = \text{界於 } 0 \text{ 與 } 2\pi \text{ 間之隨機變數。}$$

(a) Brestschneider 波譜

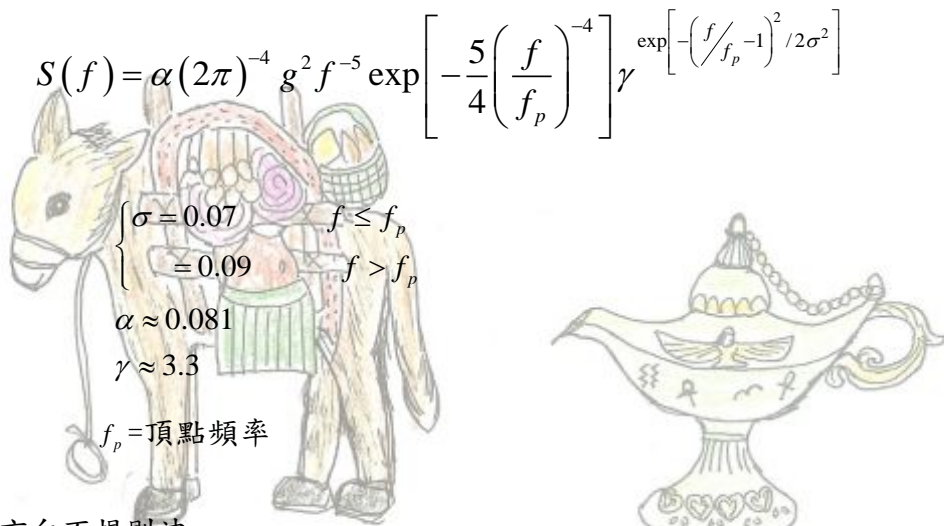
$$S(f) = 0.430 \bar{H}^2 \bar{T}^4 f^{-5} \exp(-0.675 \bar{T}^4 f^{-4})$$

(b) Brestschneider-Mitsuyasu 波譜

$$S(f) = 0.257 H_{1/3}^2 / T_{1/3}^4 f^{-5} \exp(-1.03 T_{1/3}^4 f^{-4})$$

$H_{1/3}$ 及 $T_{1/3}$ 為欲模擬造波波譜的有義波高及週期。

(c) JONSWAP 波譜



$$S(f) = \alpha (2\pi)^{-4} g^2 f^{-5} \exp\left[-\frac{5}{4} \left(\frac{f}{f_p}\right)^{-4}\right] \gamma^{\exp\left[-\left(\frac{f}{f_p}-1\right)^2 / 2\sigma^2\right]}$$

$$\begin{cases} \sigma = 0.07 & f \leq f_p \\ \sigma = 0.09 & f > f_p \end{cases}$$

$$\alpha \approx 0.081$$

$$\gamma \approx 3.3$$

$$f_p = \text{頂點頻率}$$

(5) 多方向不規則波

模擬造波頻率波譜為 $S(f)$ ，能量方向分佈函數 $G(f, \theta)$ 為，若不考量頻率的方向分布差異時，可以下式表示。

$$G(f; \theta) = G(\theta) = \begin{cases} \frac{2\ell!!}{\pi(2\ell-1)!!} \cos^{2\ell} \theta & : |\theta| \leq \pi/2 \\ 0 & : |\theta| > \pi/2 \end{cases}$$

$$2 \ell!! = 2 \ell \cdot (2 \ell - 2) \cdots 4 \cdot 2, (2 \ell - 1)!! = (2 \ell - 1) \cdot (2 \ell - 3) \cdots 3 \cdot 1。$$

光易型方向函數原式的集中度 S ，為風速的函數，在工程應用上不太方便，合田與鈴木導入 S 的最大值 S_{\max} ， S_{\max} 表示波浪方向分佈最大集中度， f_p 為波譜頂點頻率，將 S 原式改寫成下列形式。

$$S = \begin{cases} S_{\max} (f / f_p)^5 & f \leq f_p \\ S_{\max} (f / f_p)^{-2.5} & f > f_p \end{cases}$$

f_p 是頻率譜頂點處的頻率，可以下式推算。

$$f_p = \frac{1}{1.05 T_{1/3}}$$

ℓ 與 S_{\max} 間的關係如下。

$$\ell = 0.11 S_{\max} \quad : \ell \geq 2$$

通常 S_{\max} 可採用下列的值

- $S_{\max} = 10$ ，風波
- $= 25$ ，衰減距離較短湧浪
- $= 75$ ，衰減距離較長湧浪

造波板運動速度 $U(j, t)$ 為

$$U(j, t) = \sum_{n=1}^{\infty} \sqrt{2df S(f_n)} \sigma_n \cos[\sigma_n t - k_n(j w_B) \cos \alpha_n - \varepsilon_n]$$

$$\alpha_n = \alpha(\theta_n)$$

2. 理想流體運動

(1) 支配方程式

設定流體為非粘性非壓縮性理想流體，在一定水深 h 海域靜水面取座標原點 o ，水平面取 x 、 y 軸，垂直向上方向取 z 軸，時間及重力加速度以 t 及 g 表示，流體運動的速度勢 $\phi(x, y, z; t)$ 應為滿足下列 Laplace 方程式。

$$\frac{\partial^2 \phi}{\partial x^2} + \frac{\partial^2 \phi}{\partial y^2} + \frac{\partial^2 \phi}{\partial z^2} = 0$$

(2) 自由水面邊界條件

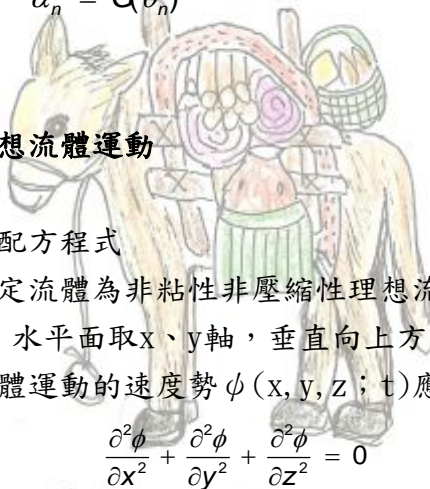
① 自由水面運動邊界條件

$$\frac{Dz}{Dt} = \frac{\partial \phi}{\partial x} \frac{\partial z}{\partial x} + \frac{\partial \phi}{\partial y} \frac{\partial z}{\partial y} = \frac{\partial \phi}{\partial z} \quad z = \zeta$$

利用前進差分將上式差分化如下



載滿珠寶的駱駝



載滿貨物的駱駝



阿拉丁神燈

$$z^{t+1} = z^t + \bar{\phi}^t \Delta t$$

$$\bar{\phi} = \partial \phi / \partial z$$

Δt 為差分時間間隔。

② 自由水面動力學邊界條件

$$\frac{D\phi}{Dt} + gz - \frac{1}{2}(\phi_x^2 + \phi_y^2 + \phi_z^2) = 0 \quad z = \zeta$$

上式是以 Lagrangian 形式表示， ζ 為自由表面波形， g 為重力加速度。

利用前進差分將上式差分化如下

$$\phi^{t+1} = \phi^t + \left[\frac{1}{2}(\phi_x^2 + \phi_y^2 + \phi_z^2) \right]^t \Delta t - gz^{t+1}$$

(3) 消波岸壁邊界條件

防波堤或岸壁具有任意反射率 K_r 時，消能係數 α 可以下式定義

$$\alpha = \mu \sqrt{1 - K_r}$$

得下列消波防波堤或岸壁上 ϕ 與 $\bar{\phi}$ 間的關係

$$\bar{\phi} = i \alpha \phi$$

μ 為與波浪特性有關的具因次值係數必須依實驗決定，反射率等於1時，消能係數 α 等於0，表示岸壁全反射無消能效果。

(4) 假想邊界面及消波岸壁邊界條件

假想邊界面的消能係數為 γ 時，可以下式定義

$$\bar{\phi} = i \gamma \phi$$

γ 同如 α ，必須依實驗決定，等於1時，表示假想邊界面為不透水面。

(5) 考量摩擦效應不透水海底邊界條件

若海底面具有摩擦效應，摩擦係數為 β 時， ϕ 與 $\bar{\phi}$ 間的關係為

$$\bar{\phi} = i \beta \phi$$

β 為具因次值係數必須依實驗決定，不考量海底摩擦時， β 等於0。

(6) 造波板邊界條件

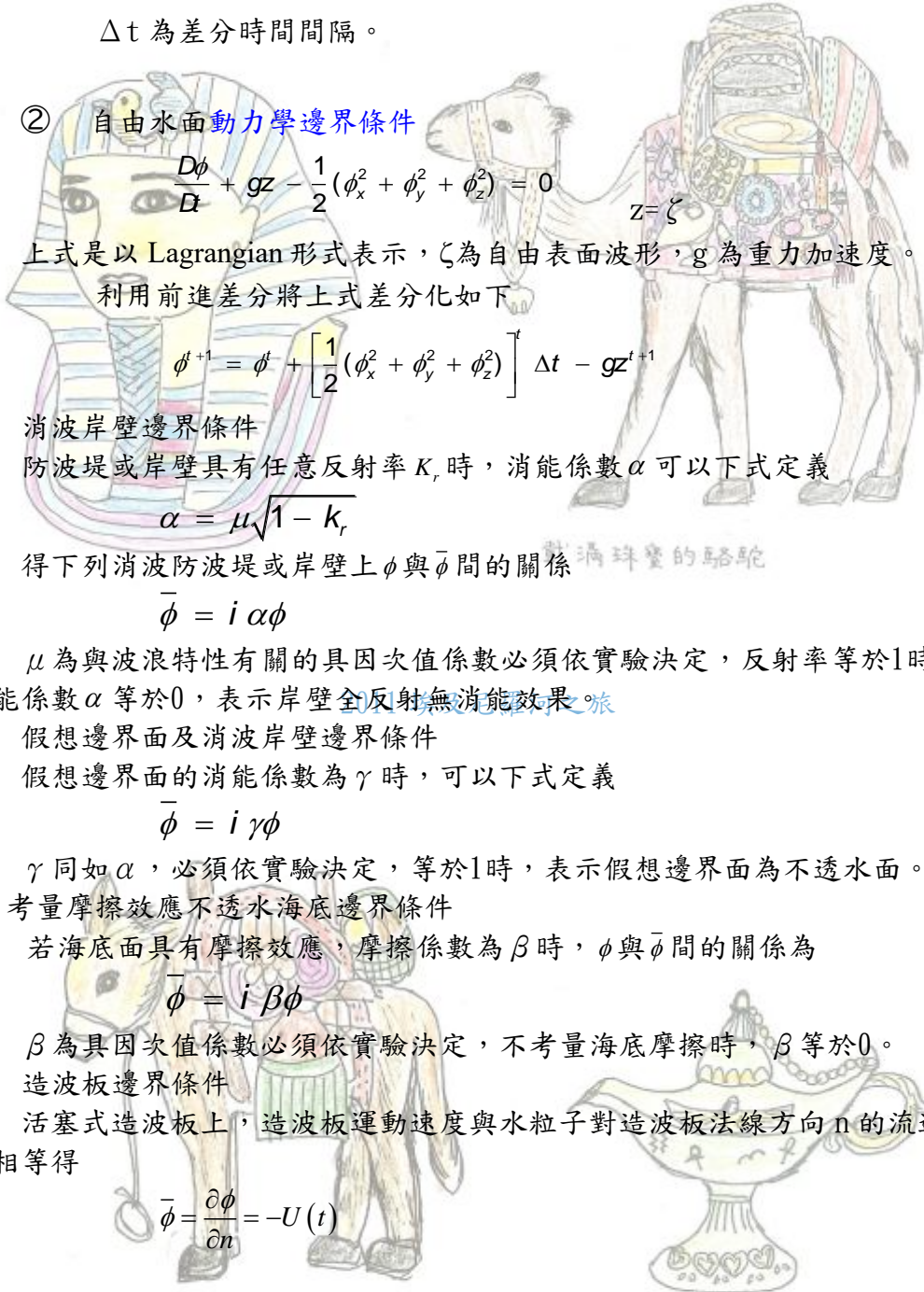
活塞式造波板上，造波板運動速度與水粒子對造波板法線方向 n 的流速必須相等得

$$\bar{\phi} = \frac{\partial \phi}{\partial n} = -U(t)$$

3. 任意地形領域的速度勢 $\phi(x, y, z)$

(1) 邊界積分方程式表示

如上圖所示，分析領域係由自由水面 A_1 、造波邊界面 A_2 、左假想邊界面 A_3 、右假想邊界面 A_4 、消能防波堤(包含岸壁) A_5 及海底面 A_6 所包圍的3維封閉空間。依3維邊界元素法所述。封閉空間內任意1點的速度勢可以下列邊界積分方程式表示如下。



阿拉丁神燈

$$\gamma\phi + \int \phi \bar{q}^* dA = \int \bar{\phi} q^* dA \quad (3.1)$$

$$\gamma = \begin{cases} 1 & \text{in boundary} \\ 1/2 & \text{on boundary} \end{cases}$$

由於上式無法求得解析解必須利用數值分析，本文將採用平面1次元素進行離散化。

(2) 元素分割

① 左右假想邊界、防波堤(含岸壁)及造波板面

由於左右假想邊界、防波堤(含岸壁)及造波板面對水深方向的分割至多2層甚至1層即可，因此宜利用人工方式直接編寫程式，將各邊界面元素離散化。本部分程式附於應用Delauany三角分割建置3維海域各邊界網格元素的第5專案。

② 自由水面及海底面

自由水面及海底面，因包含海岸線、防波堤及港內複雜配置等，宜採用自動分割。本部分程式附於應用Delauany三角分割建置3維海域各邊界網格元素的第4專案。

(3) 邊界積分方程式和分化

自由水面 A_1 、造波板邊界面 A_2 、左假想邊界面 A_3 、右假想邊界面 A_4 、消能防波堤(包含岸壁) A_5 及海底面 A_6 分別配置 n_1 、 n_2 、 n_3 、 n_4 、 n_5 及 n_6 個節點，總計 $n=n_1+n_2+n_3+n_4+n_5+n_6$ 個節點。四邊形面元素若採用線性(1次)元素時，四邊形線性元素依2維元素所述方法，將(3.1)式所示邊界積分方程式離散成下列和分方程式

$$\frac{1}{2}\phi + \sum_{p=1}^6 \int_{A_p} \phi \bar{q}^* dA = \sum_{p=1}^6 \int_{A_p} \bar{\phi} q^* dA \quad (3.2)$$

$$q^* = \frac{1}{4\pi r}$$

$$\bar{q}^* = \frac{\partial q^*}{\partial n} = \frac{\partial}{\partial n} \left(\frac{1}{4\pi r} \right) = -\frac{1}{4\pi} \frac{1}{r^2} \frac{\partial r}{\partial n}$$

$$\bar{\phi} = \frac{\partial \phi}{\partial n}$$

n 為向外單位法線。

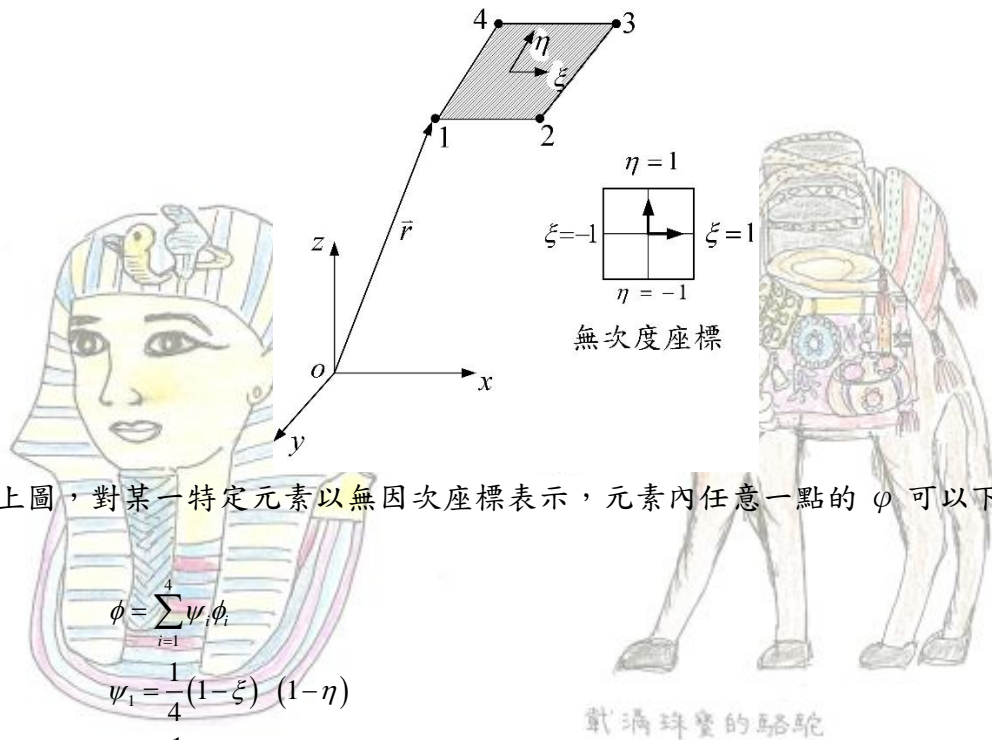
為進行數值計算，將全體座標系轉換成無因次座標系。

戴滿珠璣的駱駝

戴滿珠璣的駱駝



丁神燈



如上圖，對某一特定元素以無因次座標表示，元素內任意一點的 ϕ 可以下式表示

$$\phi = \sum_{i=1}^4 \psi_i \phi_i$$

$$\psi_1 = \frac{1}{4}(1-\xi)(1-\eta)$$

$$\psi_2 = \frac{1}{4}(1+\xi)(1-\eta)$$

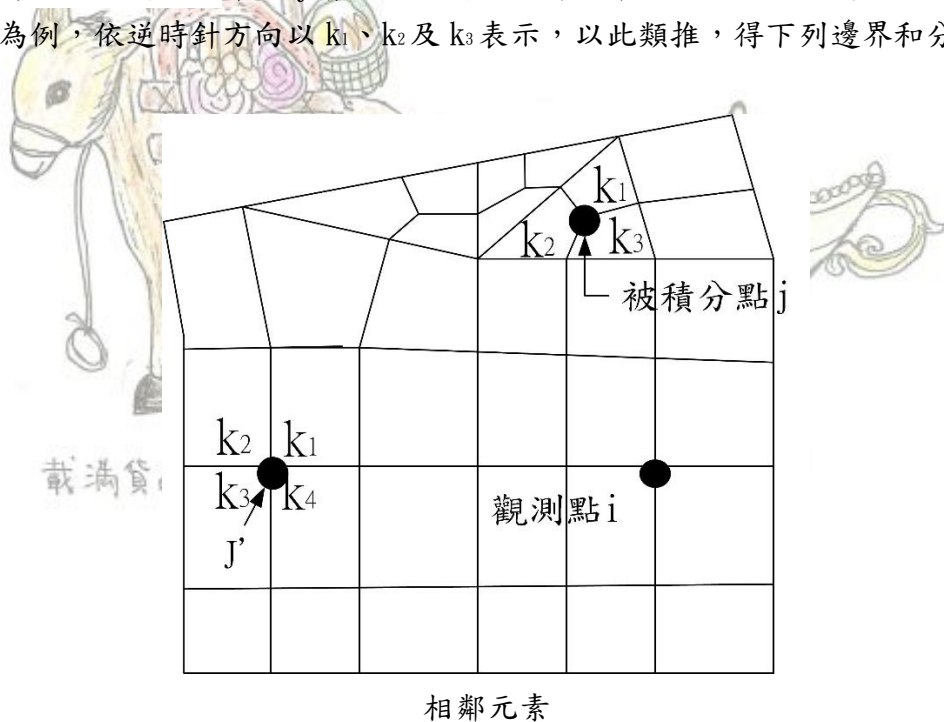
$$\psi_3 = \frac{1}{4}(1+\xi)(1+\eta)$$

$$\psi_4 = \frac{1}{4}(1-\xi)(1+\eta)$$

2011 埃及尼羅河之旅

ψ_i ($i=1\sim 4$) 為形狀函數。

對被積分節點 j ，因利用應用 Delaunay 三角分割建置 3 維海域各邊界網格元素進行自動分割，各節點 j 會產生不同的相鄰元素數 k 個。如下圖以 3 個相鄰元素為例，依逆時針方向以 k_1 、 k_2 及 k_3 表示，以此類推，得下列邊界和分方程式



$$\frac{1}{2}\phi_i + \sum_{j=1}^n \sum_{k=1}^k h_{ij}^k = \sum_{j=1}^n \sum_{k=1}^k g_{ij}^k \quad (i=1, 2, \dots, n) \quad (3.3)$$

若採用 3 次 GUASS 積分得

$$h_{ij}^k = \int_{A_k} \bar{q}_{ij}^* \phi_j dA$$

$$= -\frac{\phi_j}{16\pi} \sum_{s=1}^4 \int_{-1}^1 \int_{-1}^1 \psi_k^s \frac{1}{r_{ijks}^2} \frac{\partial r_{ijks}}{\partial n} |G|_{A_k} d\xi d\eta$$

i j k s 表示源點為 i、被積分節點為 j、k 為 j 被積分節點的相鄰元素、s 為 k 相鄰元素的 GUASS 積分點。

$$\bar{q}_{ij}^* = \frac{\partial q_{ij}^*}{\partial n} = \frac{\partial}{\partial n} \left(\frac{1}{4\pi r_{ij}} \right) = -\frac{1}{4\pi} \frac{1}{r_{ij}^2} \frac{\partial r_{ij}}{\partial n}$$

$$g_{ij}^k = \int_{A_k} q_{ij}^* \bar{\phi}_j dA$$

$$= \frac{\bar{\phi}_j}{16\pi} \sum_{s=1}^4 \int_{-1}^1 \int_{-1}^1 \psi_k^s \frac{1}{r_{ijks}} |G|_{A_k} d\xi d\eta$$

$$q_{ij}^* = \frac{1}{4\pi r_{ij}}$$

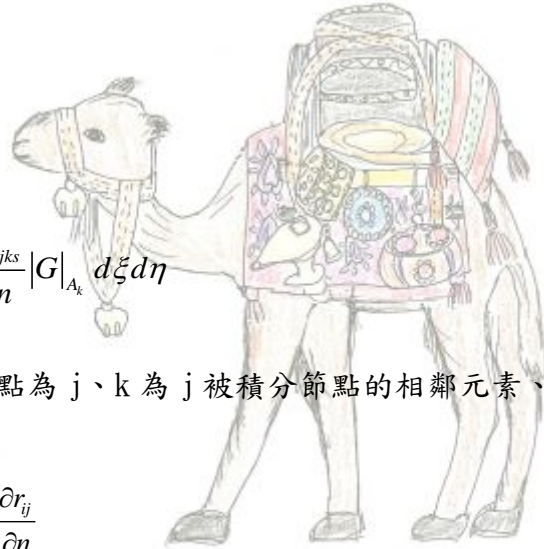
$$r_{ij} = \sqrt{(x_i - x_j)^2 + (y_i - y_j)^2 + (z_i - z_j)^2}$$

$$\frac{\partial r_{ij}}{\partial n} = \frac{\partial r_{ij}}{\partial x} \frac{\partial x}{\partial n} + \frac{\partial r_{ij}}{\partial y} \frac{\partial y}{\partial n} + \frac{\partial r_{ij}}{\partial z} \frac{\partial z}{\partial n}$$

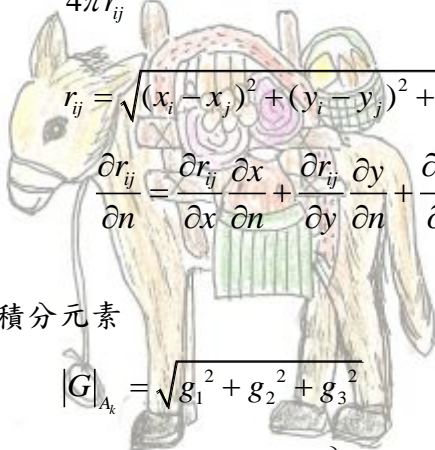
對各被積分元素

$$|G|_{A_k} = \sqrt{g_1^2 + g_2^2 + g_3^2}$$

$$\left. \begin{aligned} g_1 &= \frac{\partial y}{\partial \xi} \frac{\partial z}{\partial \eta} - \frac{\partial z}{\partial \xi} \frac{\partial y}{\partial \eta} \\ g_2 &= \frac{\partial z}{\partial \xi} \frac{\partial x}{\partial \eta} - \frac{\partial x}{\partial \xi} \frac{\partial z}{\partial \eta} \\ g_3 &= \frac{\partial x}{\partial \xi} \frac{\partial y}{\partial \eta} - \frac{\partial y}{\partial \xi} \frac{\partial x}{\partial \eta} \end{aligned} \right\}$$



載滿珠寶的駱駝



阿拉丁神燈

$$x = \frac{1}{4} [(1-\xi)(1-\eta)x_1 + (1+\xi)(1-\eta)x_2 + (1+\xi)(1+\eta)x_3 + (1-\xi)(1+\eta)x_4]$$

$$\left. \begin{aligned} \frac{\partial x}{\partial \xi} &= \frac{1}{4} [-(1-\eta)x_1 + (1-\eta)x_2 + (1+\eta)x_3 - (1+\eta)x_4] \\ \frac{\partial x}{\partial \eta} &= \frac{1}{4} [-(1-\xi)x_1 + (1+\xi)x_2 + (1+\xi)x_3 + (1-\xi)x_4] \end{aligned} \right\}$$

$$y = \frac{1}{4} [(1-\xi)(1-\eta)y_1 + (1+\xi)(1-\eta)y_2 + (1+\xi)(1+\eta)y_3 + (1-\xi)(1+\eta)y_4]$$

$$\left. \begin{aligned} \frac{\partial y}{\partial \xi} &= \frac{1}{4} [-(1-\eta)y_1 + (1-\eta)y_2 + (1+\eta)y_3 - (1+\eta)y_4] \\ \frac{\partial y}{\partial \eta} &= \frac{1}{4} [-(1-\xi)y_1 - (1+\xi)y_2 + (1+\xi)y_3 + (1-\xi)y_4] \end{aligned} \right\}$$

$$z = \frac{1}{4} [(1-\xi)(1-\eta)z_1 + (1+\xi)(1-\eta)z_2 + (1+\xi)(1+\eta)z_3 + (1-\xi)(1+\eta)z_4]$$

$$\left. \begin{aligned} \frac{\partial z}{\partial \xi} &= \frac{1}{4} [-(1-\eta)z_1 + (1-\eta)z_2 + (1+\eta)z_3 - (1+\eta)z_4] \\ \frac{\partial z}{\partial \eta} &= \frac{1}{4} [-(1-\xi)z_1 - (1+\xi)z_2 + (1+\xi)z_3 + (1-\xi)z_4] \end{aligned} \right\} \text{滿珠璣的駱駝}$$

$i \neq j$ 時，應用 Gauss 積分進行數值積分得羅河之旅

$$h_{ij}^k = -\frac{1}{8\pi} \sum_{l=1}^n \sum_{m=1}^n w_l w_m \Psi_k \frac{1}{r_{ijklm}^2} \frac{\partial r_{ijklm}}{\partial n} |G|_{A_k}$$

$$g_{ij}^k = \frac{1}{8\pi} \sum_{l=1}^n \sum_{m=1}^n w_l w_m \Psi_k \frac{1}{r_{ijklm}} |G|_{A_k} \quad (3.4)$$

$$\frac{\partial r_{ijklm}}{\partial n} = \frac{x_{jklm} - x_i}{r_{ijklm}} \left(\frac{\partial x}{\partial n} \right)_{jk} + \frac{y_{jklm} - y_i}{r_{ijklm}} \left(\frac{\partial y}{\partial n} \right)_{jk} + \frac{z_{jklm} - z_i}{r_{ijklm}} \left(\frac{\partial z}{\partial n} \right)_{jk}$$

(1, m) 為高斯積分點編號， r_{ijklm} 為源點 i 至被積分元素 (jklm) 的 Gauss 積分點

(ξ_l, η_m) 間距離， w_l 、 w_m 為加權函數， $n=2$ 時， $w_l = w_m = 1$ 。

$i = j$ 時，由於 $\partial r / \partial n = 0$ 得

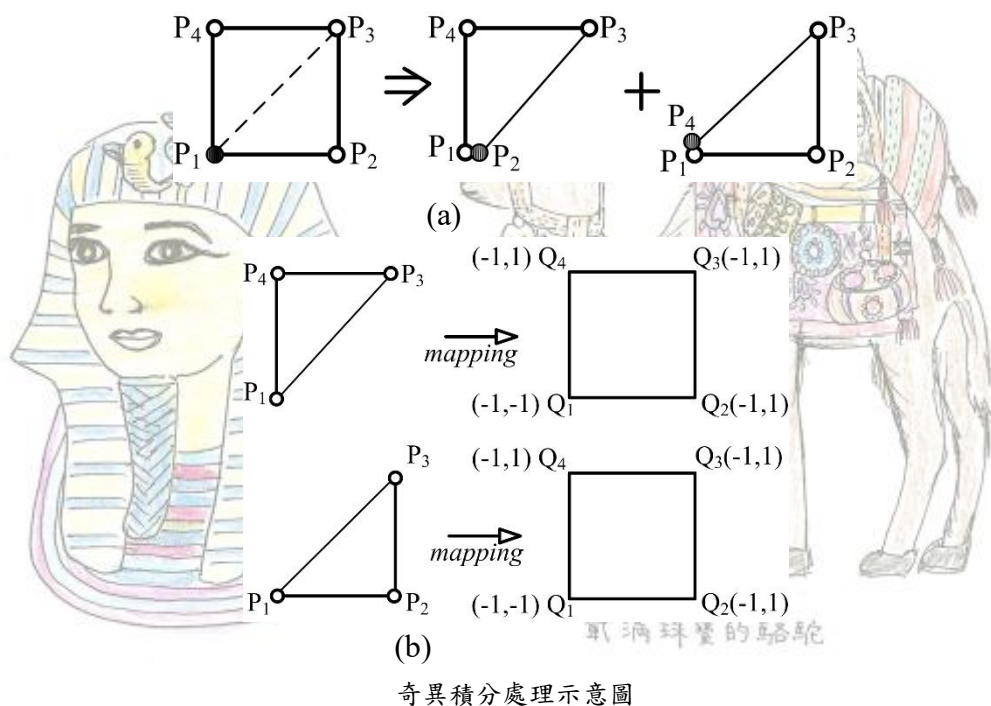
$$h_{ij}^k = 0 \quad \text{戴滿貨品的驢子}$$

(3.4) 式， $i = j$ 時會產生特異值，必須作下列處理，如下圖(a)，對某被積分元素，節點為 P_1 、 P_2 、 P_3 及 P_4 ，討論節點為 P_1 時，將四邊形元素分割成三角形元

素 $\Delta P_1 P_3 P_4$ 及 $\Delta P_1 P_2 P_3$ ，將 $\Delta P_1 P_3 P_4$ 保角變換成如下圖(b)所示正方形元素

阿拉丁神燈

(對 $\Delta P_1 P_2 P_3$ 也作同樣處理), 2 者間座標關係如下



$$x = \sum_{k=1}^4 \beta_k \tilde{x}_k \quad (3.5)$$

2011 埃及尼羅河之旅

\tilde{x}_k ($k=1 \sim 4$) 為 $Q_1 \sim Q_4$ 點在實際 3 度空間內的座標, P_k 點座標為 x_k 時



將(3.5)式代入上式得

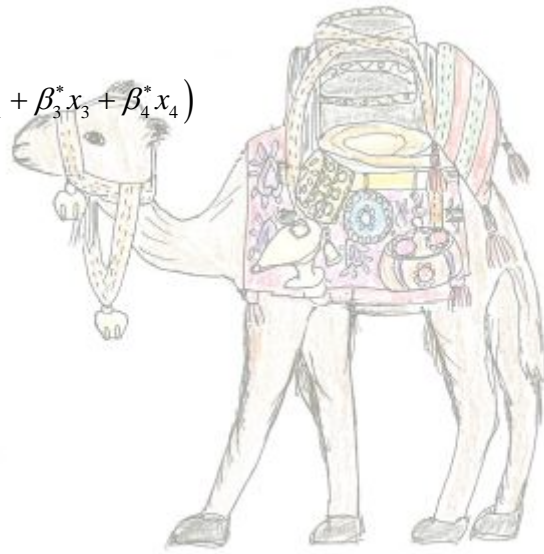
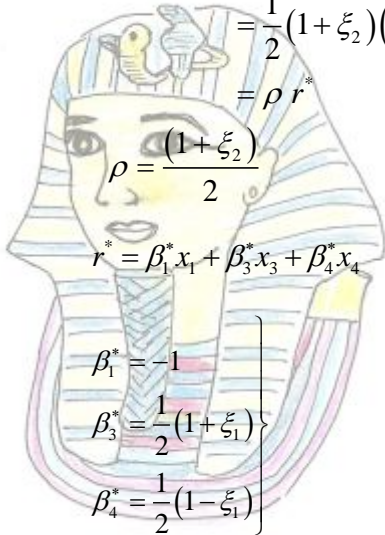
$$\begin{aligned}
 x &= \beta_1 x_1 + \beta_2 x_2 + \beta_3 x_3 + \beta_4 x_4 \\
 &= \frac{1}{2}(1 - \xi_2)x_1 + \beta_3 x_3 + \beta_4 x_4 \\
 &= \sum_{k=1}^3 \psi_k x_k \\
 \psi_1 &= \frac{1}{2}(1 - \xi_2) \\
 \psi_2 &= \beta_3 = \frac{1}{4}(1 + \xi_1)(1 + \xi_2) \\
 \psi^3 &= \beta_4 = \frac{1}{4}(1 - \xi_1)(1 + \xi_2)
 \end{aligned}$$

源點座標為 x_1 ，源點元素內任意 1 點位置向量 r 為

$$r = x - x_1 = \sum_{k=1}^3 \psi_k x_k - x_1$$

$$= \frac{1}{2}(1 + \xi_2)(\beta_1^* x_1 + \beta_3^* x_3 + \beta_4^* x_4)$$

$$= \rho r^*$$



載滿珠寶的駱駝

得源點與元素內任意一點間距離 r

$$r = |\rho| r^*$$

2011 埃及尼羅河之旅

$r^* = \sqrt{r_1^{*2} + r_2^{*2} + r_3^{*2}}$ ， r_1^* 、 r_2^* 及 r_3^* 各為 r^* 在 x 、 y 及 z 方向分量。

$x \rightarrow x_1$ 時， $|\rho| \rightarrow 0$ 但 $r^* \neq 0$ ，因此對 ξ_1 ， ξ_2 座標的平面元素 dA ，得

$$dA = \left| \frac{\partial \vec{r}}{\partial \xi} \times \frac{\partial \vec{r}}{\partial \eta} \right| d\xi d\eta$$

$$= |\rho| \left| \left(\sum_{k=3}^4 \frac{\partial \beta_k^*}{\partial \xi} x_k \right) \times \frac{\partial \vec{r}}{\partial \eta} \right| d\xi d\eta$$

$$= |\rho| \left| \frac{\partial \vec{r}^*}{\partial \xi} \times \frac{\partial \vec{r}}{\partial \eta} \right| d\xi d\eta$$

即

$$\frac{1}{r} dA = \frac{1}{r^*} \left| \frac{\partial \vec{r}^*}{\partial \xi} \times \frac{\partial \vec{r}}{\partial \eta} \right| d\xi d\eta$$

$$\left. \begin{aligned} \frac{\partial x^*}{\partial \xi} &= \frac{1}{2}(x_3 - x_4) \\ \frac{\partial y^*}{\partial \xi} &= \frac{1}{2}(y_3 - y_4) \\ \frac{\partial z^*}{\partial \xi} &= \frac{1}{2}(z_3 - z_4) \end{aligned} \right\}$$

載滿貨品的驢子



阿拉丁神燈

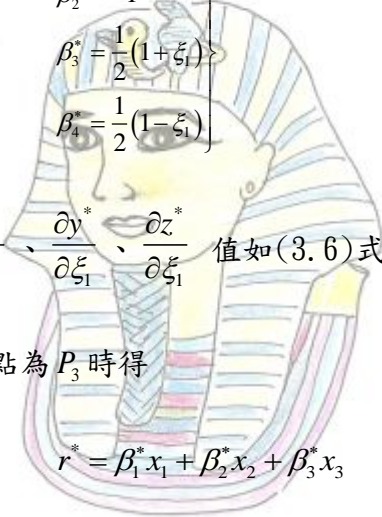
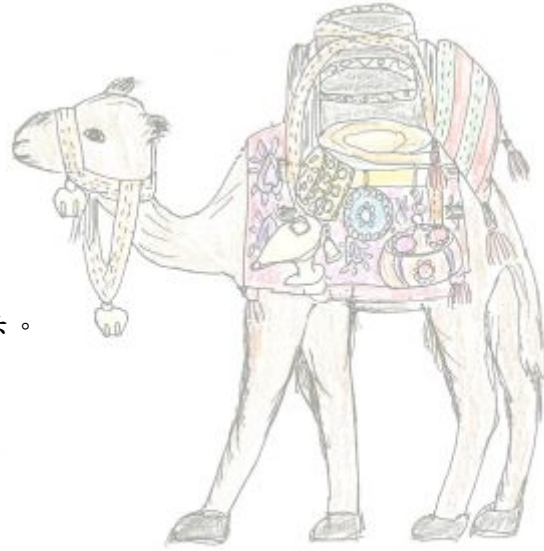
(3.6)

由上式可知特異性已被消除。

同理，源點為 P_2 時得

$$r^* = \beta_2^* x_2 + \beta_3^* x_3 + \beta_4^* x_4$$

$\left. \begin{aligned} \beta_2^* &= -1 \\ \beta_3^* &= \frac{1}{2}(1+\xi_1) \\ \beta_4^* &= \frac{1}{2}(1-\xi_1) \end{aligned} \right\}$
 $\frac{\partial x^*}{\partial \xi_1}, \frac{\partial y^*}{\partial \xi_1}, \frac{\partial z^*}{\partial \xi_1}$ 值如(3.6)式所示。
 源點為 P_3 時得
 $r^* = \beta_1^* x_1 + \beta_2^* x_2 + \beta_3^* x_3$

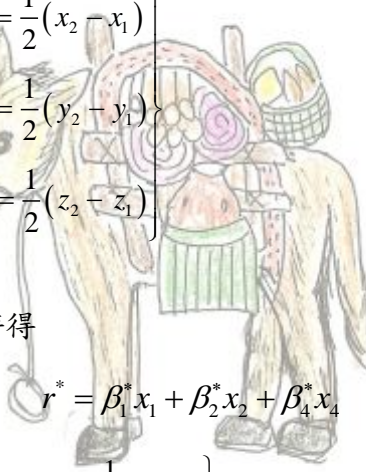



載滿珠寶的駱駝

$$\left. \begin{aligned} \beta_1^* &= \frac{1}{2}(1-\xi_1) \\ \beta_2^* &= \frac{1}{2}(1+\xi_1) \\ \beta_3^* &= -1 \end{aligned} \right\}$$

2011 埃及尼羅河之旅

$\left. \begin{aligned} \frac{\partial x^*}{\partial \xi_1} &= \frac{1}{2}(x_2 - x_1) \\ \frac{\partial y^*}{\partial \xi_1} &= \frac{1}{2}(y_2 - y_1) \\ \frac{\partial z^*}{\partial \xi_1} &= \frac{1}{2}(z_2 - z_1) \end{aligned} \right\}$
 源點為 P_4 時得
 $r^* = \beta_1^* x_1 + \beta_2^* x_2 + \beta_4^* x_4$
 $\left. \begin{aligned} \beta_1^* &= \frac{1}{2}(1-\xi_1) \\ \beta_2^* &= \frac{1}{2}(1+\xi_1) \\ \beta_4^* &= -1 \end{aligned} \right\}$



載滿貨物的馬廝子

(3.7)



阿拉丁神燈

$\frac{\partial x^*}{\partial \xi_1}, \frac{\partial y^*}{\partial \xi_1}, \frac{\partial z^*}{\partial \xi_1}$ 值如(3.7)式所示。

因此得

$$g_{ij}^k = \frac{1}{8\pi} \sum_{l=1}^n \sum_{m=1}^n w_l w_m \Psi_k \frac{1}{r_{ijklm}^*} |G^*|_{A_k} \quad (3.8)$$

$$|G^*|_{A_{jk}} = \sqrt{g_1^{*2} + g_2^{*2} + g_3^{*2}} \quad (3.9)$$

$$\left. \begin{aligned} g_1^* &= \frac{\partial y^*}{\partial \xi} \frac{\partial z}{\partial \eta} - \frac{\partial z^*}{\partial \xi} \frac{\partial y}{\partial \eta} \\ g_2^* &= \frac{\partial z^*}{\partial \xi} \frac{\partial x}{\partial \eta} - \frac{\partial x^*}{\partial \xi} \frac{\partial z}{\partial \eta} \\ g_3^* &= \frac{\partial x^*}{\partial \xi} \frac{\partial y}{\partial \eta} - \frac{\partial y^*}{\partial \xi} \frac{\partial x}{\partial \eta} \end{aligned} \right\}$$

r_{ilm}^* 為源點 i 至被積分元素 (jk) 的 Gauss 積分點 (ξ_l, η_m) 間距離。

4. 全體座標與元素座標間的關係

全體座標與元素座標間的關係，可依下列變換法則

$$\begin{bmatrix} \frac{\partial \phi}{\partial x} \\ \frac{\partial \phi}{\partial y} \\ \frac{\partial \phi}{\partial z} \end{bmatrix} = J^{-1} \begin{bmatrix} \frac{\partial \phi}{\partial \xi} \\ \frac{\partial \phi}{\partial \eta} \\ \frac{\partial \phi}{\partial \zeta} \end{bmatrix}$$

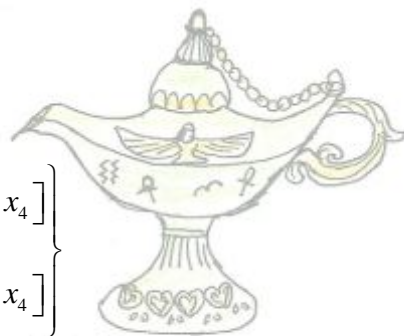
2011 埃及尼羅河之旅

$$J = \begin{bmatrix} \frac{\partial x}{\partial \xi} & \frac{\partial y}{\partial \xi} & \frac{\partial z}{\partial \xi} \\ \frac{\partial x}{\partial \eta} & \frac{\partial y}{\partial \eta} & \frac{\partial z}{\partial \eta} \\ \frac{\partial x}{\partial \zeta} & \frac{\partial y}{\partial \zeta} & \frac{\partial z}{\partial \zeta} \end{bmatrix}$$

又

$$\left. \begin{aligned} \frac{\partial x}{\partial \xi} &= \frac{1}{4} [-(1-\eta)x_1 + (1-\eta)x_2 + (1+\eta)x_3 - (1+\eta)x_4] \\ \frac{\partial x}{\partial \eta} &= \frac{1}{4} [-(1-\xi)x_1 - (1+\xi)x_2 + (1+\xi)x_3 + (1-\xi)x_4] \end{aligned} \right\}$$

$$\left. \begin{aligned} \frac{\partial y}{\partial \xi} &= \frac{1}{4} [-(1-\eta)y_1 + (1-\eta)y_2 + (1+\eta)y_3 - (1+\eta)y_4] \\ \frac{\partial y}{\partial \eta} &= \frac{1}{4} [-(1-\xi)y_1 - (1+\xi)y_2 + (1+\xi)y_3 + (1-\xi)y_4] \end{aligned} \right\}$$



阿拉丁神燈

$$\left. \begin{aligned} \frac{\partial z}{\partial \xi} &= \frac{1}{4} [-(1-\eta)z_1 + (1-\eta)z_2 + (1+\eta)z_3 - (1+\eta)z_4] \\ \frac{\partial z}{\partial \eta} &= \frac{1}{4} [-(1-\xi)z_1 - (1+\xi)z_2 + (1+\xi)z_3 + (1-\xi)z_4] \end{aligned} \right\}$$

依上述數值計算，將(3.1)式以下列矩陣形式表示

$$\Phi = K\bar{\Phi}$$

(3.10)

上式表示在邊界表面 ϕ 與 $\bar{\phi}$ 間的關係式。

$$[K] = [H + I]^{-1}[G]$$

$$[H] = \sum_{k=1}^k H_{ij}^k$$

$$[G] = \sum_{k=1}^k G_{ij}^k$$

4. 任意地形領域邊界表面上速度勢及導函數間的關係式

載滿珠寶的駱駝

任意地形港內領域，自由水面 A_1 、左假想邊界面 A_2 、造波邊界面 A_3 、右假想邊界面 A_4 、消能防波堤(包含岸壁) A_5 及海底面 A_6 分別配置 N_1 、 N_2 、 N_3 、 N_4 、 N_5 及 N_6 個四角形1次元素加以離散，邊界表面上速度勢及導函數間的關係式如(3.10)式所示，可以下列部份矩陣表示

$$\begin{bmatrix} \phi_1 \\ \phi_2 \\ \phi_3 \\ \phi_4 \\ \phi_5 \\ \phi_6 \end{bmatrix} = \begin{bmatrix} k_{11} & k_{12} & k_{13} & k_{14} & k_{15} & k_{16} \\ k_{21} & k_{22} & k_{23} & k_{24} & k_{25} & k_{26} \\ k_{31} & k_{32} & k_{33} & k_{34} & k_{35} & k_{36} \\ k_{41} & k_{42} & k_{43} & k_{44} & k_{45} & k_{46} \\ k_{51} & k_{52} & k_{53} & k_{54} & k_{55} & k_{56} \\ k_{61} & k_{62} & k_{63} & k_{64} & k_{65} & k_{66} \end{bmatrix} \begin{bmatrix} \bar{\phi}_1 \\ \bar{\phi}_2 \\ \bar{\phi}_3 \\ \bar{\phi}_4 \\ \bar{\phi}_5 \\ \bar{\phi}_6 \end{bmatrix} \quad (4.1)$$

5. 連立方程式

將1.~3.所示各項邊界條件代入上式，得

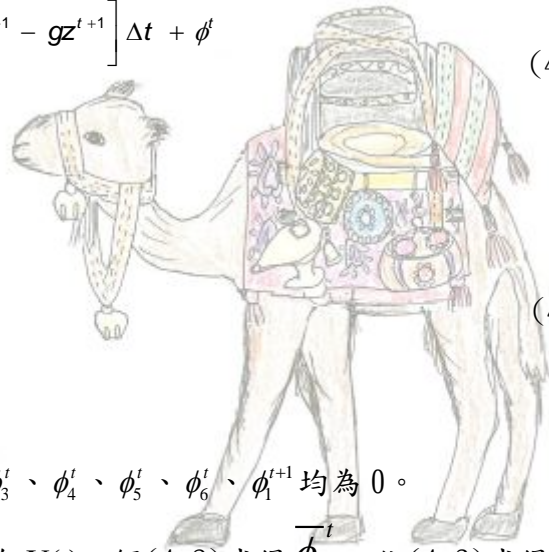
$$\begin{bmatrix} k_{11} & 0 & i\gamma k_{13} & i\gamma k_{14} & i\alpha k_{15} & i\beta k_{16} \\ k_{21} & -1 & i\gamma k_{23} & i\gamma k_{24} & i\alpha k_{25} & i\beta k_{26} \\ k_{31} & 0 & i\gamma k_{33} - 1 & i\gamma k_{34} & i\alpha k_{35} & i\beta k_{36} \\ k_{41} & 0 & i\gamma k_{43} & i\gamma k_{44} - 1 & i\alpha k_{45} & i\beta k_{46} \\ k_{51} & 0 & i\gamma k_{53} & i\gamma k_{54} & i\alpha k_{55} - 1 & i\beta k_{56} \\ k_{61} & 0 & i\gamma k_{63} & i\gamma k_{64} & i\alpha k_{65} & i\beta k_{66} - 1 \end{bmatrix} \begin{bmatrix} \phi_1 \\ \phi_2 \\ \phi_3 \\ \phi_4 \\ \phi_5 \\ \phi_6 \end{bmatrix}^{t+1} = \begin{bmatrix} k_{12}U + \phi_1 \\ k_{22}U \\ k_{32}U \\ k_{42}U \\ k_{52}U \\ k_{62}U \end{bmatrix}^{t+1} \quad (4.2)$$

自由水面上

$$\phi^{t+1} = \left[\frac{1}{2} (\phi_x^2 + \phi_y^2 + \phi_z^2)^{t+1} - g z^{t+1} \right] \Delta t + \phi^t \quad (4.3)$$



$$\begin{aligned} x^{t+1} &= x^t + \frac{\partial \phi_1^t}{\partial x} \Delta t \\ y^{t+1} &= y^t + \frac{\partial \phi_1^t}{\partial y} \Delta t \\ z^{t+1} &= z^t + \frac{\partial \phi_1^t}{\partial z} \Delta t \end{aligned}$$



$$(4.4)$$

對時間反覆計算過程如下：

- ① $t=0$ 時刻，呈靜止狀態， ϕ_2^t 、 ϕ_3^t 、 ϕ_4^t 、 ϕ_5^t 、 ϕ_6^t 、 ϕ_1^{t+1} 均為 0。
- ② $t=t\Delta t$ 時刻的造波板運動速度為 $U(t)$ ，解(4.2)式得 ϕ_1^t ，依(4.3)式得 $(t+1)\Delta t$ 時刻 ϕ_1^{t+1} ，從(4.4)式求得 $(t+1)\Delta t$ 時刻自由表面水粒子位置 $(x^{t+1}, y^{t+1}, z^{t+1})$ 。
- ③ 對 $(t+1)\Delta t$ 時刻水面波形，重新計算(4.1)式。

2011 埃及尼羅河之旅

反覆上述②、③即可。



載滿貨品的驢子



阿拉丁神燈